

II-65 掃流砂量の上計算法と始動現象の検討

武藏工業大学 正員 王 方一

修正 Rossinskij 式によって掃流砂量を計算するには、轉動、躍動および浮流などの限界底速の選択が必要である。これらについては数々の研究はあるが、定量的の限界ははつきり示されていないようである。本文では岩垣教授の掃流限界値を通り、離脱確率時に相当すると假定して上記の式で掃流砂量を計算し、それらの間の相違、および Einstein, Kalske 曲線との相違を比較した。また最大変動底速を標準偏差とする係数との乘積とえた時、その係数の変化に伴う砂量の相違、粒子に作用する底速の作用点のとり方による相違、さらに躍動粒子の平均移動速度のとり方による相違についても比較した。流相は乱粗域の場合を考え、流速分布は Keulegan 型を採用した。計算は $i=1/100$, $d=2\text{mm}$ および $d=3\text{mm}$ の場合に限った。また §3 では始動時の粒子の離脱様相と普通の実験時の表層の凹凸の特徴について検討している。

(§6 の 2 層モデル掃流砂量表示式は後に付け加えたので題目もいく分変わった。文版には予盾は免れない)

§1. 修正 Rossinskij 式の形 (Rossinskij: 1967, Soviet hydrology No.2; 王: 1971, 第15回国水理講演集)

河床剪断力の増加に伴って、轉動、躍動(滑動含む)、浮流粒子は構成割合が変化しながら共存して移動すると考え、流砂量を $g_T = g_B + g_s \dots \dots \dots (1)$ で表わす。掃流砂量 g_B は従来の方法で求め、掃流砂量 g_s は次式で表わす: $g_s = \beta \cdot d [\pi_r \bar{U}_r + \pi_j \bar{U}_j] \dots \dots \dots (2)$
 ここで添字 r , j , s は轉動、躍動(滑動含む)、浮流粒子に関する量を指し、

$$\pi_r = q_r - q_j ; \quad \pi_j = q_s - q_s ; \quad q_r = \int_{U_{bcy}}^{\infty} f(u_b) du_b ; \quad q_j = \int_{U_{bcj}}^{\infty} f(u_b) du_b ; \quad q_s = \int_{U_{bcs}}^{\infty} f(u_b) du_b ; \quad \dots \dots \dots (2a)$$

$$f(u_b) = \frac{1}{\sqrt{2\pi} \cdot 6u_b} \exp \left[-(u_b - \bar{U}_b)^2 / 26u_b^2 \right]. \quad \text{変形すれば,}$$

$$q_r = \frac{1}{2} [1 - 2Y(X_r)] \dots \dots \dots (3a) \quad \text{or} \quad q_r = \frac{1}{2} [1 - \operatorname{erf}(X_r/\sqrt{2})] \dots \dots \dots (3a)'$$

$$q_j = \frac{1}{2} [1 - 2Y(X_j)] \dots \dots \dots (3b) \quad \text{or} \quad q_j = \frac{1}{2} [1 - \operatorname{erf}(X_j/\sqrt{2})] \dots \dots \dots (3b)'$$

$$q_s = \frac{1}{2} [1 - 2Y(X_s)] \dots \dots \dots (3c) \quad \text{or} \quad q_s = \frac{1}{2} [1 - \operatorname{erf}(X_s/\sqrt{2})] \dots \dots \dots (3c)'$$

$$\therefore \text{E } Y(X) = \frac{1}{\sqrt{2\pi}} \int_0^X \exp(-x^2/2) dx \dots \dots \dots (4) ; \quad \operatorname{erf}(T) = \frac{2}{\sqrt{\pi}} \int_0^T \exp(-t^2) dt \dots \dots \dots (5)$$

$$X_r = (U_{bcy} - \bar{U}_b) / 6u_b \dots \dots \dots (6a) ; \quad X_j = (U_{bcj} - \bar{U}_b) / 6u_b \dots \dots \dots (6b) ; \quad X_s = (U_{bcs} - \bar{U}_b) / 6u_b \dots \dots \dots (6c).$$

$$\text{また } \beta = \frac{2}{3} \rho_e k_e , \quad N_b = k_e / \frac{4}{3} d^2 , \quad N_{be} = k_e N_b \dots \dots \dots (7)$$

$$\bar{U}_r = \int_{U_{bcy}}^{\infty} (u_b - U_{bcy}) f(u_b) du_b / q_r \approx \bar{U}_b - U_{bcy} \dots \dots \dots (8)$$

$$\bar{U}_j \approx \bar{U}_b \dots \dots \dots (9) \quad U_{bcy} = \bar{U}_{bcy} + U_{bcy,\max} ; \quad U_{bcj} = \bar{U}_{bcj} + U_{bcj,\max} \quad \} \dots \dots \dots (2b)$$

$$\bar{U}_b = a_b U_x \text{ とすれば (2) は } g_B = \beta d [\pi_r (a_b U_x - U_{bcy} U_{bcy}) + \pi_j a_b U_x] \dots \dots \dots (10)$$

となる。乱粗域の場合、代表底速の作用高を $b = dd$ の α を一定とすれば $a_b = a_{bcy}$

となり、 $g_B = \beta d \cdot a_b [\pi_r (U_* - U_{*cr}) + \pi_j U_*]$ ----- (11)を得る。

Rossinskiiy の原式は $g_B = \beta d a_r [\pi_r (\bar{U}_m - \bar{U}_{mc}) + q_r \bar{U}_m]$ ----- (12) , $a_r = \bar{U}_b / \bar{U}_m$ になっているおり、(11)式に比べて π_j や q_r になつて渦流限界を考へよとしている。

以下の比較計算では (11)を使用し、 β は Rossinskiiy 提案の 0.8 を採用した。

§ 2. 最大瞬間底速

底速の変動を正規分布とすれば $U_{bmax}' = \sqrt{6} \bar{U}_b$, $U_{bmax} = U_{bmax} - \bar{U}_b$, 且つ最大瞬間底速は $U_{bmax} = \bar{U}_b (1 + \nu K_{ub})$ で表わされる。こゝに $K_{ub} = \bar{U}_b / U_{bmax}$ 。近底における K_{ub} と ν のとるべき値は研究者によつて異なる。 K_{ub} については 0.33, 0.25 (Kalinske 1942, 1947) ; 0.167 (Panikaropoulos 1955, 1957) , $f_{un}(\%) = 0.16 \sim 0.32$ (Rossinskiiy) などが例である。また慣用の $\bar{U}_b / U_* \approx 2$ と $\bar{U}_b = a_b U_*$, $a_b = f_{un}(\alpha)$ を用いて $K_{ub} = \bar{U}_b / U_{bmax}$ を計算すれば $K_{ub} = 0.34$ ($\alpha = 0.35$ に対し) , 0.263 ($\alpha = 0.70$ に対し) , 0.249 ($\alpha = 0.85$) , 0.235 ($\alpha = 1.0$ に対し) を得る。また ν については 3 と 2.4 などの説がある。これらの値は特殊な状態での実験、現地観測あるいは半理論的に得られたもので一般的とはいえない。流砂のある場合の近底の乱れはより複雑である。本文の計算では K_{ub} は Rossinskiiy の 2.7% ~ K_{ub} を用い、 ν は 3 と 2.55 の 2 種とした。

§ 3 粒子の移動形式と各段階の限界移動

平坦河床において河床剪断力の増加と共に重力、浮力、抗力、揚力の割合が変化し、轉動限界底速を越え轉動する粒子、無重限界底速(揚力=水中重)を越え浮き上がり滑動する粒子、また、 $U_{bcj} < U_b < U_{bcs}$ (U_{bcj} : 無重限界底速, U_{bcs} : 游流限界底速)になつて底面よりはなれて躍動するもの、さらに $U_b > U_{bcs}$ になつて浮遊するものが共存して移動すると考えられる。これら的原因で移動開始したものが流れ自身の脈動、底面との接觸・衝突、粒子同士の衝突などにより、再静止、再轉動、再滑動、再跳躍へと移行をくり返して流下して行く。また既に移動した粒子の衝突を受け、静止より始動する粒子もある。Rossinskiiy の式では(1)始動を轉動とし、(2)始動を滑動(本文の躍動初期に相当)としているが、粗面上に單独粒子がおかれると場合にはどうはいえるか、密に配置されているとき即ち粒子中心距離が $l = d$ のときには、まず粒子がいく分浮いてから轉動するとも考えられ、これは跳躍限界が轉動限界の前にあることは同時におこることを意味する。実験室での觀察で 轉動が始まるのは表面を何らの方法で平にならず際、事実上完全にできないことが原因であると考えられる。全深さを一組一組人工的に配置しない限り $l = d$ の配列は現われない。仁丹やはぼー様な砂(3mm)を板で軽く押すあるいは平にならずとき表面の数個密に配列したときの個数より少く、概略の目測で $\frac{1}{2} \sim \frac{1}{4}$ 程度、従つて $l = (\sqrt{2} \sim \sqrt{4})d$ の状態が起る。ならず速度、粒径、設定高さと粒子頂部との距離にも依存する。このような状態の表面粒子の流体力の受け方は單独粒子の揚力を似ており、轉動に有利な状態にある。異なるのは上流域粒子の後流、下流域粒子の干渉などの効をようが入る点である。この様な配列にあつた粒子周りの流相は複雑で乱れの性状諸量が不明なので、流砂量比較計算では 2 種示された値より選んで用いた。

§4 計算に使用した限界移動底速

土屋教授は岩垣掃流基準を $N_1/N_b = 0.5\%/\text{sec}$ 相当としている。 (N_1 : 單位時間、単位面積あたりの通過粒子数, N_b : 単位面積あたりの粒子個数)。筆者の $d=3\text{mm}$ についての実験もこれに近い数値を得ている。また Dou 氏は Shields 曲線を離脱確率 5% 時相当としている。これらの相互関係が不明のいま、確率の % を假定して、流砂量計算を行った。岩垣教授の掃流基準実験式によれば、 $d=2\text{mm}$ [に対する] $h_{cr} = 1.42 \text{ cm}$, $\theta_{cr} = 1/\sqrt{4\kappa_e} = 0.043$; $d=3\text{mm}$ [に対する] $h_{cr} = 2.53 \text{ cm}$, $\theta_{cr} = 0.051$ を得る。この基準をより離脱確率 5% 時 ($(U_{cr} - U_b)/U_{bs} = 1.64$ 相当) とすれば確率 0.5% ($\nu = 2.55$ 相当) に対する h_{cr} は $A_b(2.55) U_{*cr}(2.55) = (1+1.64 K_{ub}) A_b(1.64) U_{*cr}(1.64) / (1+2.55 K_{ub})$ ----- (13); $h_{cr} = U_{*}^2(2.55) / \bar{s} g d$ ----- (13)' より求められる。 K_{ub} & Rossinskij の $f(\eta/h)$ 曲線で求めると、 $d = 2\text{mm}$ [に対する] $h_{cr} = 1.13 \text{ cm}$, $\theta_{cr} = 0.034$; $d = 3\text{mm}$ [に対する] $h_{cr} = 1.80 \text{ cm}$, $\theta_{cr} = 0.037$ を得る。また離脱確率 0.1% 時 ($\nu = 3$ 相当) の量に換算すれば $d = 2\text{mm}$ [に対する] $h_{cr} = 0.86 \text{ cm}$, $\theta_{cr} = 0.026$; $d = 3\text{mm}$ [に対する] $h_{cr} = 1.53 \text{ cm}$, $\theta_{cr} = 0.031$ を得る。

Rossinskij は (揚力) \leq (水中重さ) と (垂直変動流速) \leq (沈速) の間の段階を 跳動としているが 本文では跳動を用語とする。Rossinskij の限界躍動瞬間底速は $U_{bobj} = \sqrt{\frac{4}{3}\kappa_e \bar{s} g d}$ ----- (14), $C_L = 0.12$ になつており、他の研究者のものはいく分異なるが、今回は (14) 式のみを用いた。

漂流限界は椿教授の $\theta_{cs} = 1/\sqrt{\kappa_e} \approx 0.70$ ($d > 2\text{mm}$ に対する) を借用しこれより漂流限界底速 $U_{bs} = (1+\nu K_{ub}) A_b \sqrt{\theta_{cs} \bar{s} g d}$ ----- (15) を求めた。類似の研究の例は検討しなかつた。

§5. 計算結果

岩垣基準を確率 5% 時相当として換算した 0.5% 時の量を轉動限界値とする計算流砂量の結果は図-1 に示す $\alpha = 0.35, 0.70, 1.0$ の変化による相違を示す。跳動平均移動速度 \bar{U}_j は $U_{b=ad}$ および $U_{b=2.5d}$ の 2 種を用いた。 $b=2.5d$ は Bagnold (1951, or Henderson の本の引用) が示した粒子の静水中での貫通距離の式 $x_p = \frac{4sd}{3} \ln 2$ ----- (16) [$s=2.65$ を入れた $x_p = 2.5d$ を採用した]。図-1によれば低 α に対して $\alpha = 0.35$ と $\alpha = 0.7$ のとき、Einstein 曲線上に比較的近づく。漂流限界 0.7 になるとどれも大きく下まわる。図-2 は $d = 3\text{mm}$, $\alpha = 0.35$ のとき, $\nu = 2.55$ と $\nu = 3$ とする流砂量強度の相違を示す。結果は大差はない。図-3 は岩垣基準の水深 $h_{cr} = 2.53 \text{ cm}$ ($d = 3\text{mm}$) をかりに 0.5% の離脱確率時と 0.1% 時に相当するとして計算した結果である。 $\alpha = 0.35$ のとき、Einstein 曲線を大きく下まわるが $\alpha = 0.7$ であれば相当接近することになる。

§6. 2層移動モデルに基づく掃流砂量の上計算法

§3 後半での検討に基づき、次の掃流砂量表示法式を試みた。

假定 (1): 表層の粒子個数を $k_e N_b$ とし、轉動限界底速以上になつて轉動しながら、跳躍(無重) 限界底速になると跳躍粒子も共存する。

(2) 2層目の受力個数を $(1-k_e) N_b$ とし、跳動限界底速以上になつてから離脱する。

従って掃流砂量は $g_B = g_{B1} + g_{B2} = \tilde{v}_s k_e N_b (\pi_r \bar{U}_r + \pi_j \bar{U}_j) + (1-k_e) \tilde{v}_s N_b \pi_j \bar{U}_j$
 $= \frac{2}{3} k_e k_i d [\pi_r \bar{U}_r + \pi_j \bar{U}_j + (\frac{1}{k_e} - 1) \pi_j \bar{U}_{j2}]$ ----- (17)

\therefore [$\tilde{v}_s = \frac{\pi}{6} d^3$: 差当り $\bar{U}_j = \bar{U}_{j2}$ とすれば] $g_B = \beta d [\pi_r \bar{U}_r + \pi_j \bar{U}_j / k_e]$ ----- (18)

$\beta = \frac{2}{3} k_e k_i$, $k_i = 0.785$ とすれば $\beta = 0.2$ とすれば $\beta = 0.382$, $1/k_e = 2.62$ となり、従つて

$\delta_B = 0.2d [\pi_r \bar{U}_r + 2.62\pi_j \bar{U}_j] \dots\dots (19)$
を得る。 $d=3mm$ (= についての計算結果は図-2に示す。 $\bar{U}_j = \bar{U}_b = 2.5d$ としたとき $\theta = 0.10$ 近辺で Einstein 曲線よりや、下まわる b 、 $\beta = 0.3$ とした

$\delta_B = 0.3d [\pi_r \bar{U}_r + 1.745\pi_j \bar{U}_j] \dots\dots (20)$
を用いればほとんど一致する結果を得る。

他の条件については補算中であるが、全般的には 図-1, 2, 3 に示すような (11)式による高 θ 値範囲での計算値過少の傾向は $\bar{U}_b = \bar{U}_j = 2.5d$ を (20)式と併用すればなくなるといえる。

謝辞： 岸教授、渡部教授より多くの援助、助言、はげましを受け、記して謝意を表わす。

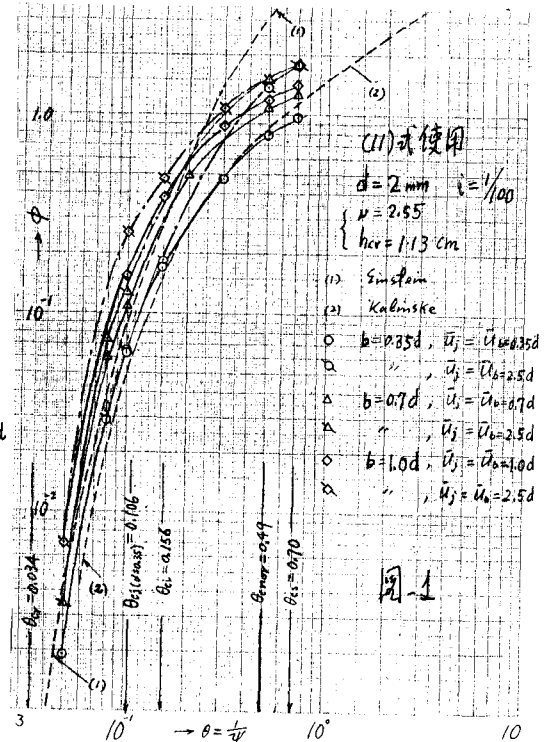


図-1

